

IFT 615 – Intelligence Artificielle

Application – vision artificielle

Professeur: Froduald Kabanza

Assistants: D'Jeff Nkashama et Léo Chartrand

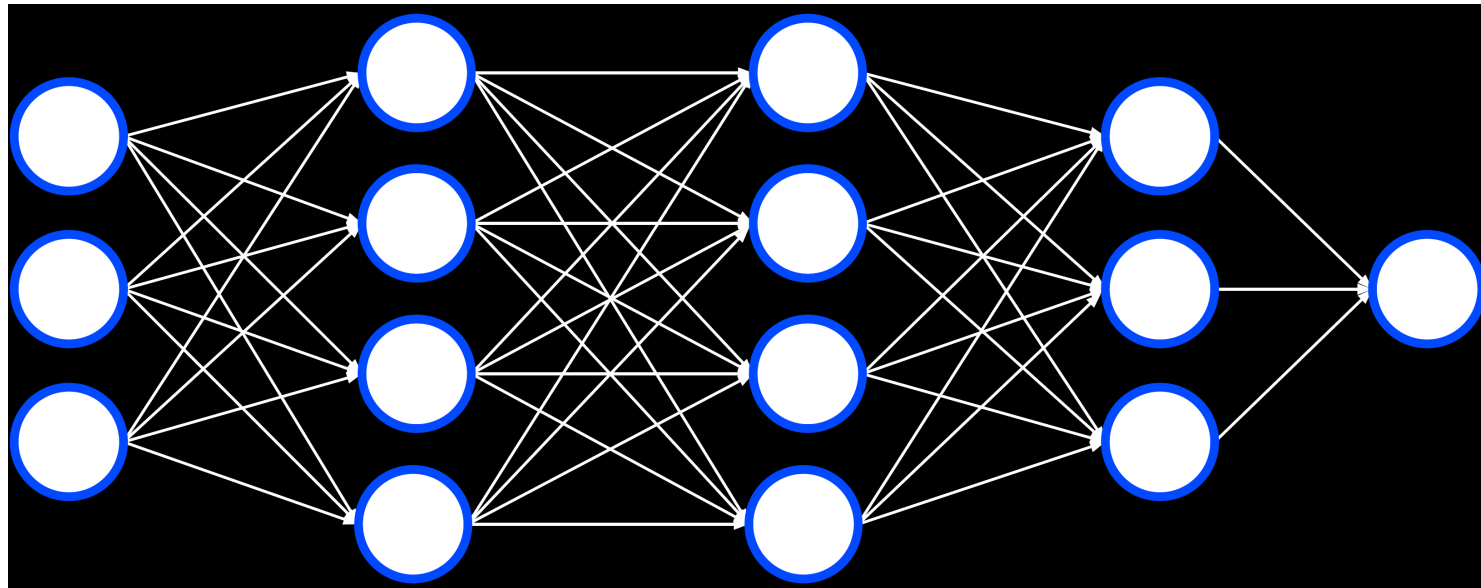
Sujets couverts

- Convolution d'une image
- Max-pooling d'une image
- Réseau de neurones à convolution (CNN)
- (Optionnel) Opérations bas niveau sur les images
 - ◆ détection de contour
 - ◆ calcul de gradients d'image
 - ◆ corrélation 2D
 - ◆ convolution 2D

RAPPELS

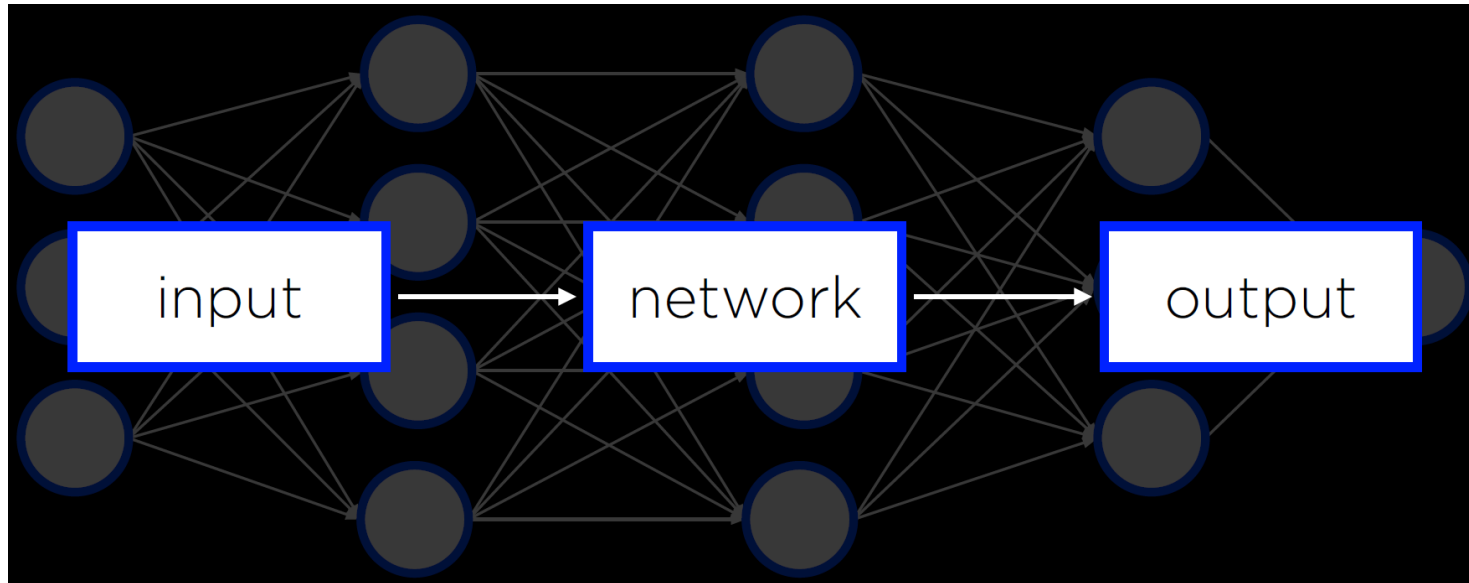
Réseau de neurone artificiel

Réseau de neurone *feedforward* (multi-perceptron)



Réseau de neurone artificiel

Réseau de neurone *feedforward* (multi-perceptron)



Concepts

- poids, fonction d'activation, modèle, inférence
- entraînement, perte, optimisation (minimisation de la perte), rétropropagation du gradient, sous-apprentissage, sur-apprentissage
- paramètres, hyperparamètres

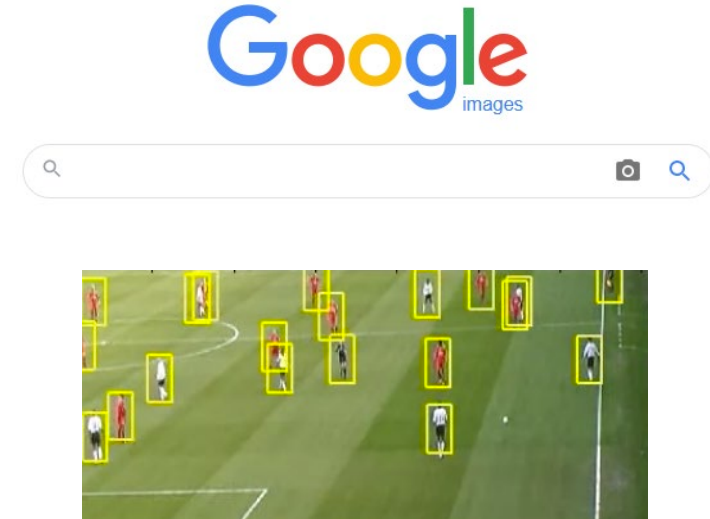
RÉSEAU DE NEURONES À CONVOLUTION

Motivation

- La vue est un sens très utile à la survie d'un organisme
 - ◆ apporte beaucoup d'information sur son environnement (nourriture, prédateur, etc.)
- Presque toutes les créatures intelligentes sont dotées de vision
- Chez l'humain $\approx 25\%$ du cerveau sert à la vision
 - ◆ pour l'ouïe, c'est $\approx 8\%$
 - ◆ pour le touché, c'est $\approx 3\%$
- Ça donne une idée de la complexité de la tâche à résoudre...

Applications de la vision artificielle

- Reconnaissance de caractères (*OCR*)
- Reconnaissance d'objets (visages, plaques d'immatriculation)
- Recherche d'images
- Analyse de documents
- Détection et suivi de joueurs
- Voitures autonomes, drones, robots
- Domotique et sécurité



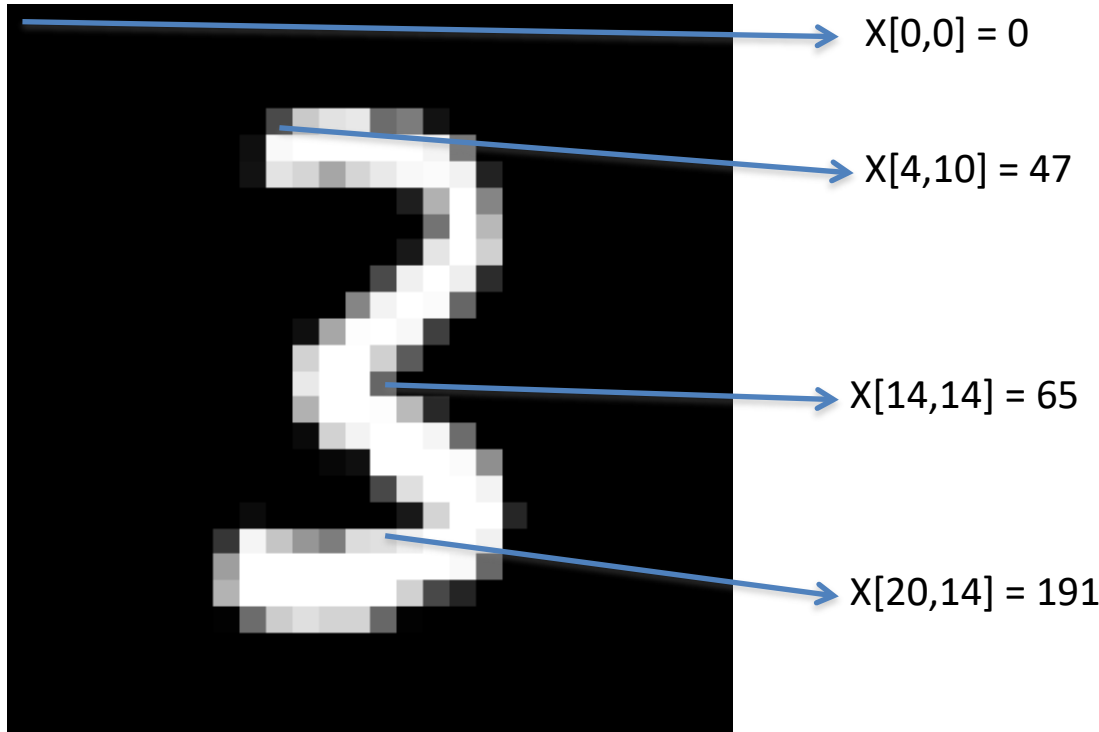
Dans cette leçon...

- On va voir deux opérations sur des images
 - ◆ convolution
 - ◆ max-pooling
- L'objectif est d'introduire le réseau de neurones à convolution
- Optionnellement, pour ceux qui souhaitent approfondir, des diapos additionnelles expliquent
 - ◆ Le gradient d'image
 - ◆ La détection de contours avec le gradient d'image
 - ◆ La correction 2D et sa relation avec la convolution 2D

Représentation brute d'une image

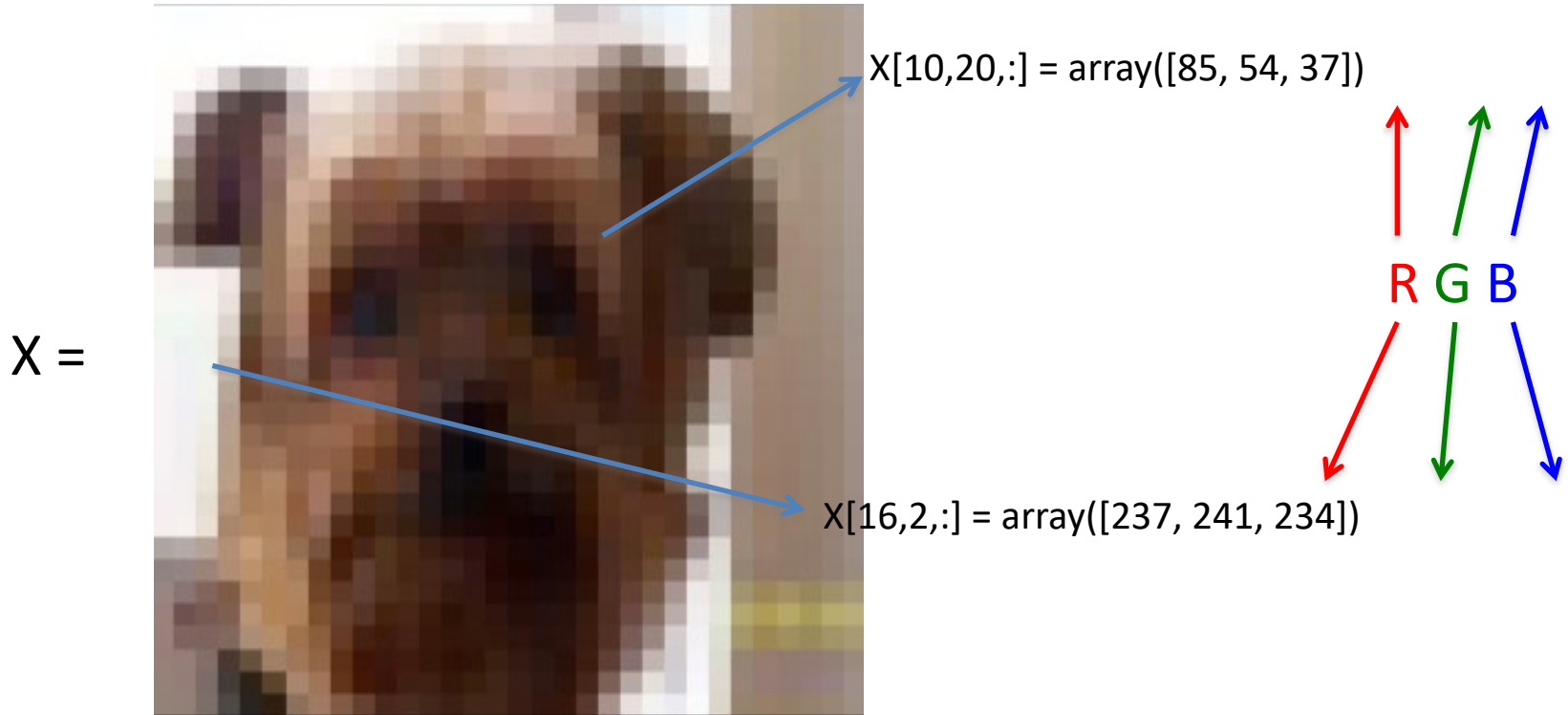
- Image en niveau de gris: tableau 2D de pixels, entiers positifs de 8 bits

$X =$



Représentation brute d'une image

- Image en couleur: tableau 3D de pixels RGB, entiers positifs de 8 bits

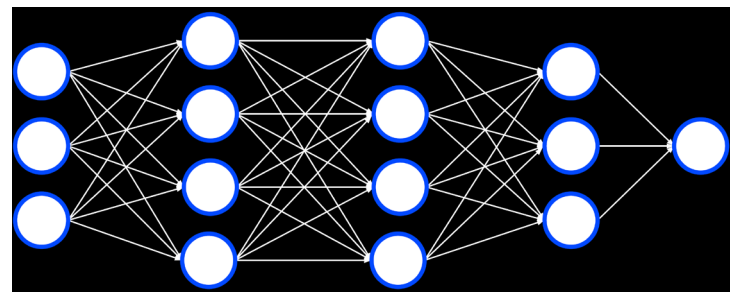


Opérations bas niveau sur les images

- La représentation sous forme de pixels a des désavantages
 - ◆ elle est lourde, c.-à-d. coûteuse en mémoire
 - » 1024x1024 pixels de 8 bits (en niveau de gris) = 1 MB / image
 - » 1024x1024 pixels de 24bits (canaux RGB) = 3 MB / image
 - ◆ elle contient plus d'information qu'on en a besoin
 - » pour détecter une voiture dans une image, la couleur n'est pas utile
 - » la scène (arrière plan) dans laquelle se trouve un objet à détecter peut être ignorée
- On aimerait appliquer des **opérations bas niveau simples (prétraitement)** sur les images, afin d'y **extraire l'information pertinente (c.-à-d., caractéristiques ou *features* en anglais)** pour la tâche à résoudre



Credit: Harvard CS 50 AI course

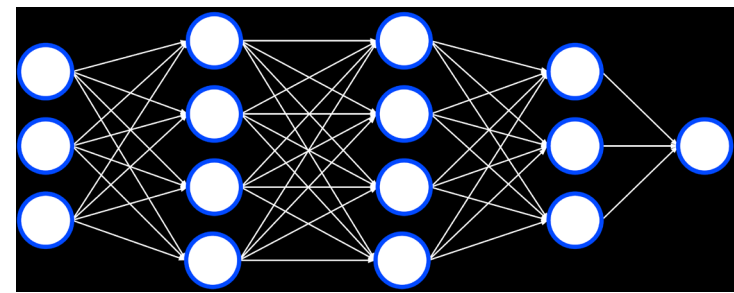




Credit: Harvard CS 50 AI course



Credit: Harvard CS 50 AI course



Credit: Harvard CS 50 AI course

Convolution d'une image

Opération d'appliquer un **filtre** à une image. Elle consiste à additionner chaque pixel de l'image avec les pixels avoisinants pondérés par les valeurs du filtre.

Illustration



*

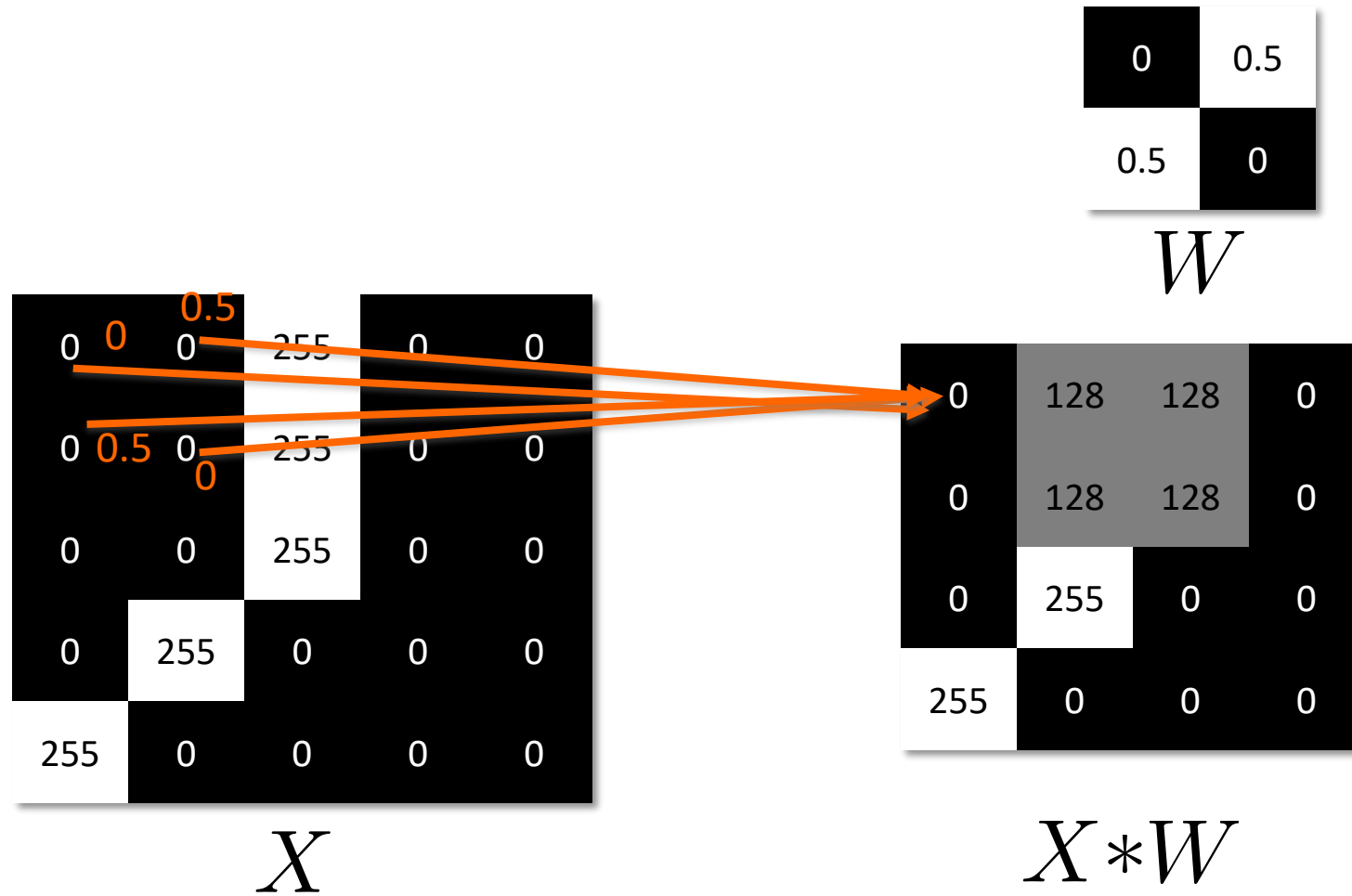
-1	-1	-1
-1	8	-1
-1	-1	-1



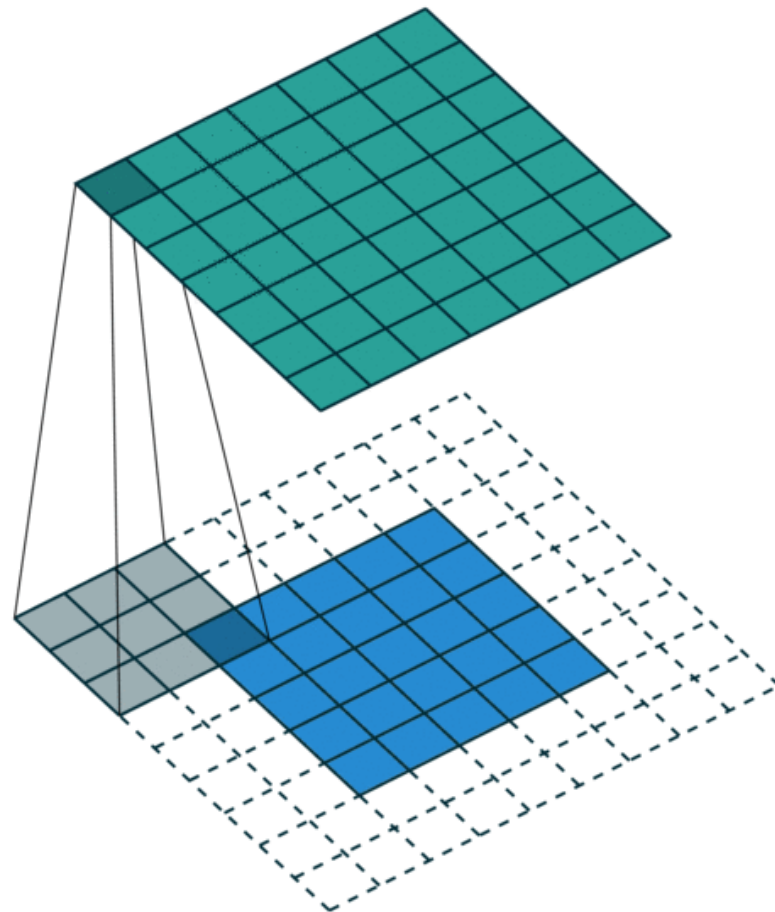
Credit: Harvard CS 50 AI course

Le filtre est aussi appelé un **noyau**.

Exemple 1



Illustration



Credit: <https://towardsdatascience.com/convolution-vs-correlation-af868b6b4fb5>

Exemple 2

20	20	20
20	20	20
20	20	20

-1	-1	-1
-1	8	-1
-1	-1	-1

$$\begin{aligned} & (20)(-1) + (20)(-1) + (20)(-1) \\ & + (20)(-1) + (20)(8) + (20)(-1) \\ & + (20)(-1) + (20)(-1) + (20)(-1) \end{aligned}$$

0

Exemple 2

20	20	20
50	50	50
50	50	50

-1	-1	-1
-1	8	-1
-1	-1	-1

$$\begin{aligned} & (20)(-1) + (20)(-1) + (20)(-1) \\ & + (50)(-1) + (50)(8) + (50)(-1) \\ & + (50)(-1) + (50)(-1) + (50)(-1) \end{aligned}$$

90



*

-1	-1	-1
-1	8	-1
-1	-1	-1



Credit: Harvard CS 50 AI course



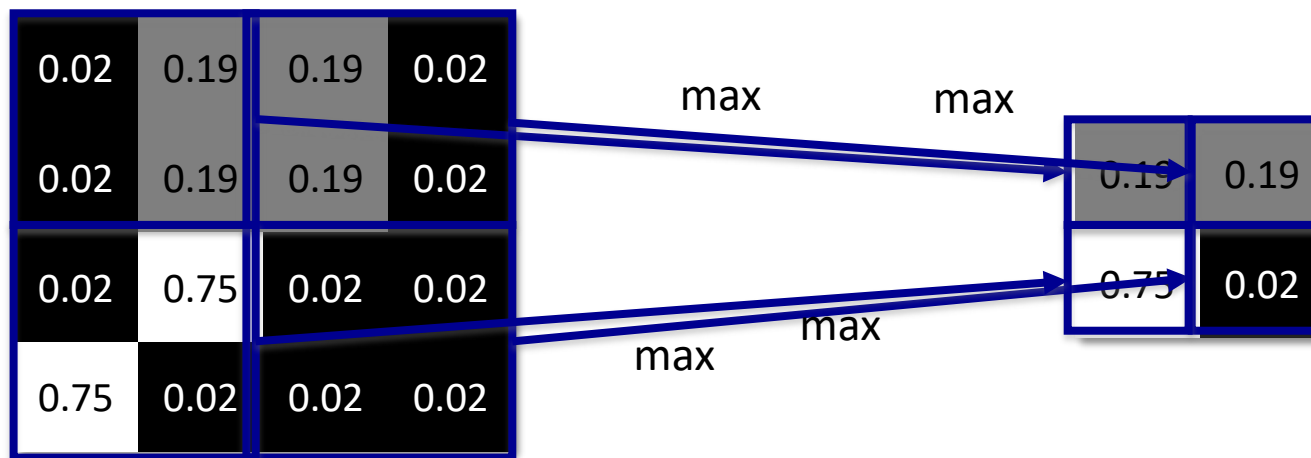
Pooling d'une image

Opération de **réduire la taille de l'image** remplaçant des régions de l'image par leurs échantillons

Max-pooling d'une image

Opération de **réduire la taille de l'image** remplaçant chaque région de l'image par le maximum de la région

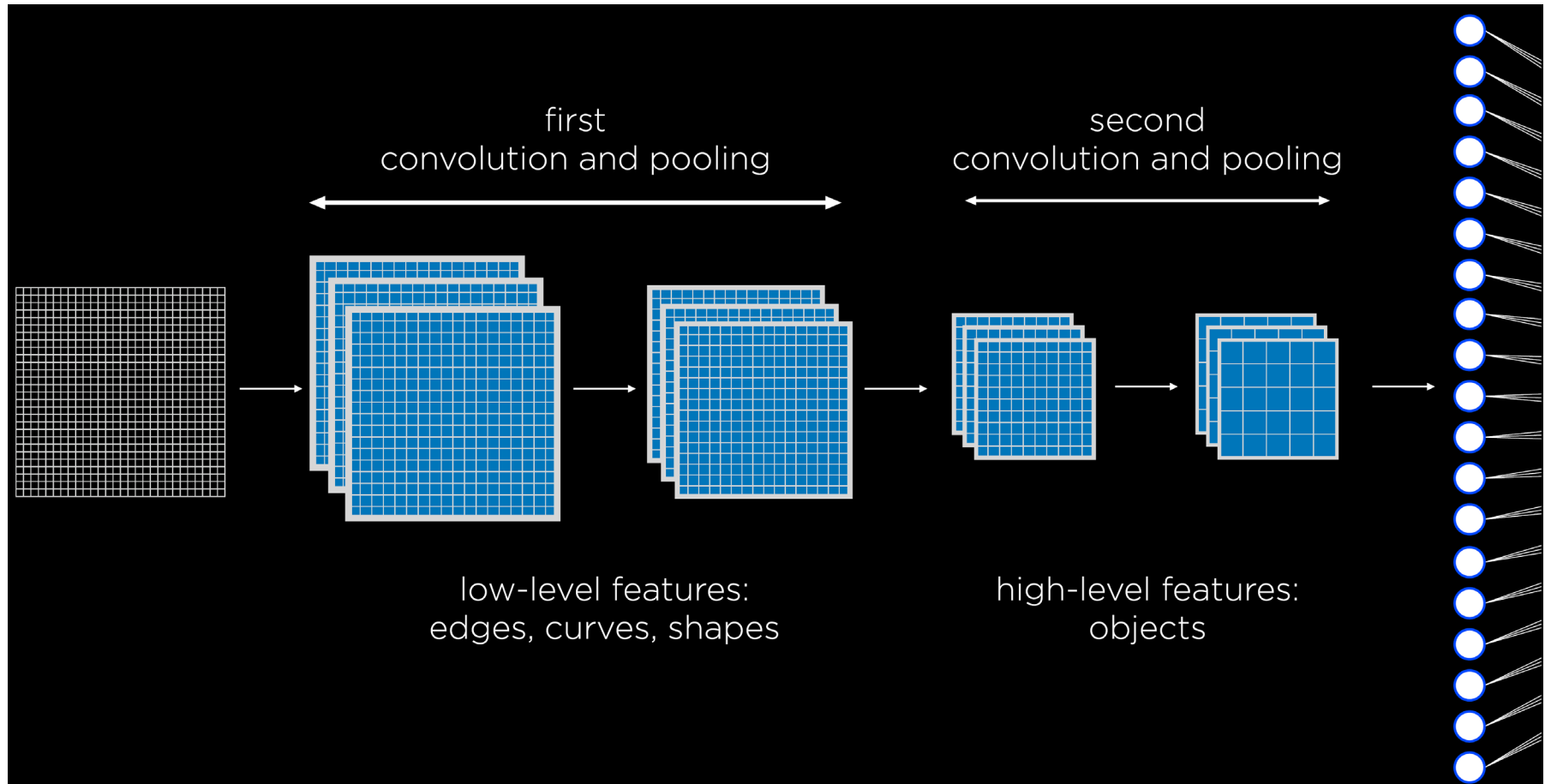
Exemple



Réseau de neurones à convolution

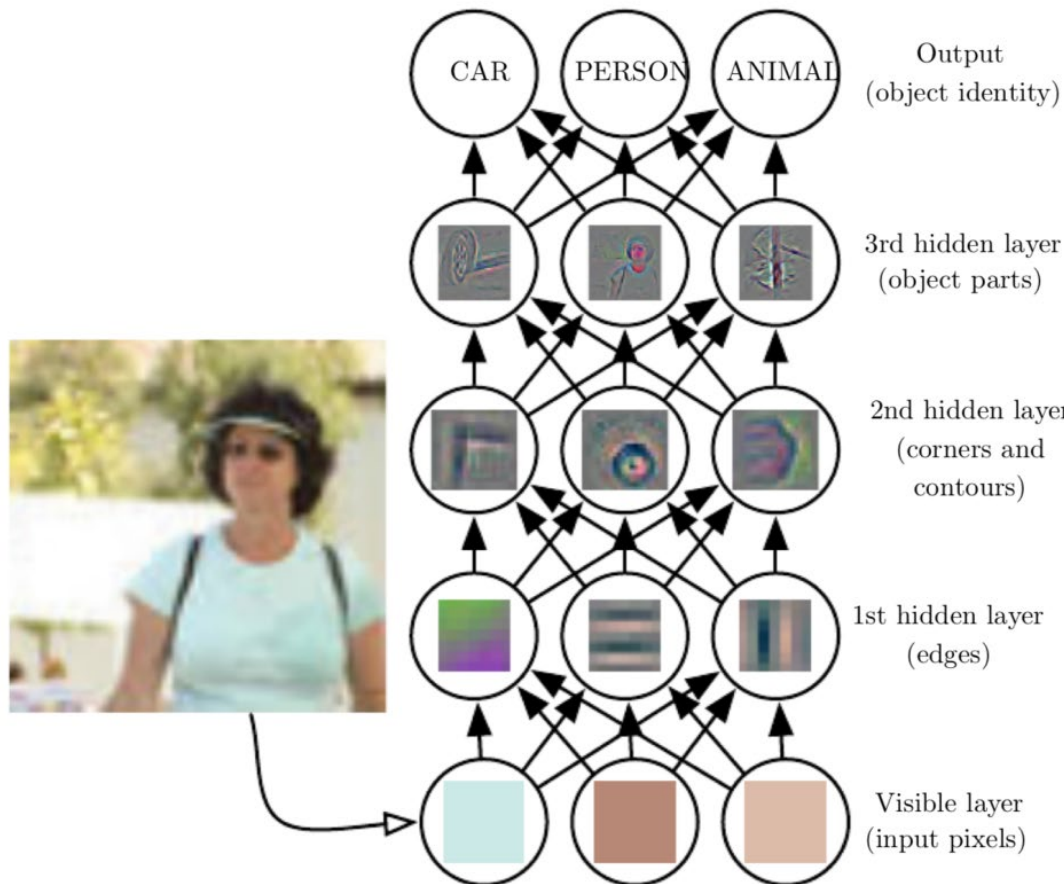
Réseau de neurones qui utilise la convolution – le plus souvent appliqué pour l'analyse d'images

Réseau de neurone à convolution



Credit: Harvard CS 50 AI course

Chaque couche apprend une abstraction



<https://bdtechtalks.com/2020/01/06/convolutional-neural-networks-cnn-convnets/>

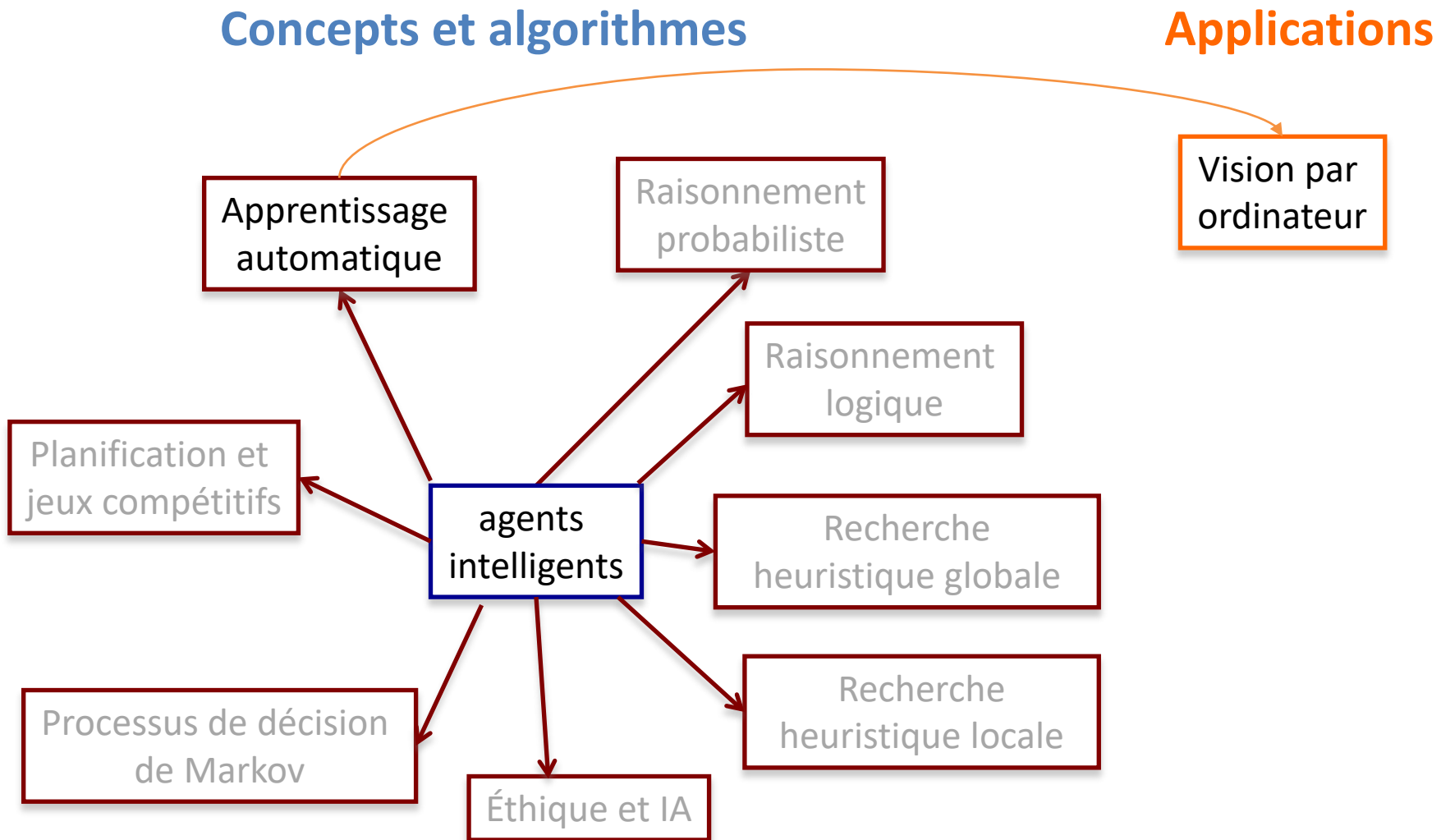
Conclusion

- La vision artificielle est un des problèmes fondamentaux de l'IA
- L'architecture CNN est une des architectures fondamentales en apprentissage automatique, avec plusieurs applications, pas seulement en vision
- La plus part des plateformes d'apprentissage automatique supportent les CNN

Conclusion

- Ce cours a introduit réseau de neurone de façon simple et pratique
- Cours plus avancés:
 - ◆ Le bacc en imagerie offre plusieurs cours sur le sujet
(ex.: **IMN 559 - Vision par ordinateur**)
 - » ces cours peuvent être suivis à la maîtrise...
 - ◆ **IFT 603 – Techniques d'apprentissage**
 - ◆ **IFT 725 – Réseaux neuronaux** : couvre les réseaux à convolution avec plus de détails (cours de maîtrise)

Sujets couverts



Vous devriez être capable de...

- Décrire ce qu'une convolution
- Décrire ce qu'un max-pooling
- Expliquer ce qui distingue un réseau de neurones à convolution d'un réseau de neurones standard (perceptron multi-couches)

Optionnel (pas couvert pour l'examen)

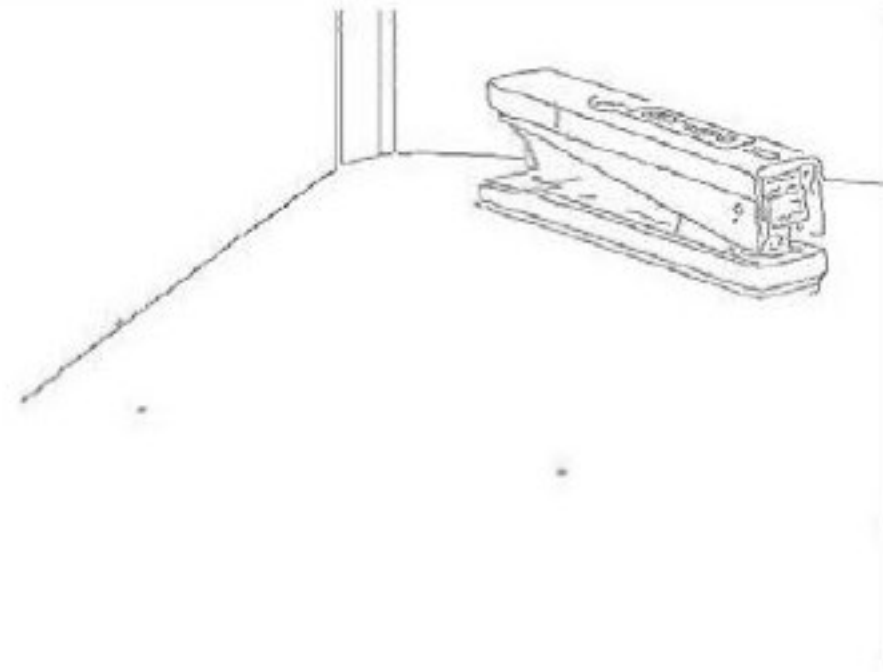
APPROFONDIR LA CONVOLUTION

Contour

- Un contour est un changement soudain dans l'intensité/couleur de pixels adjacents

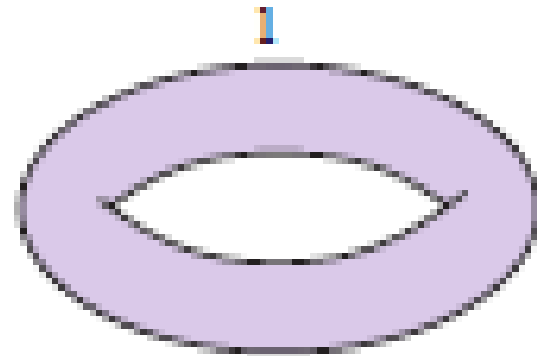
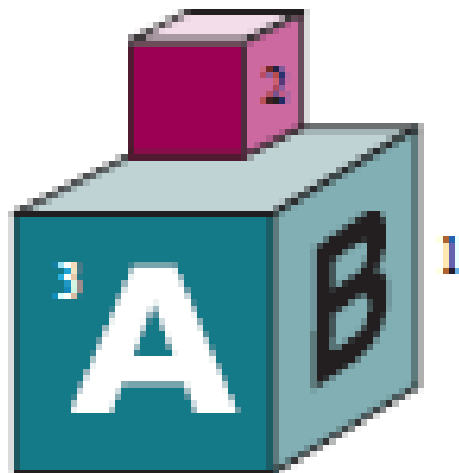
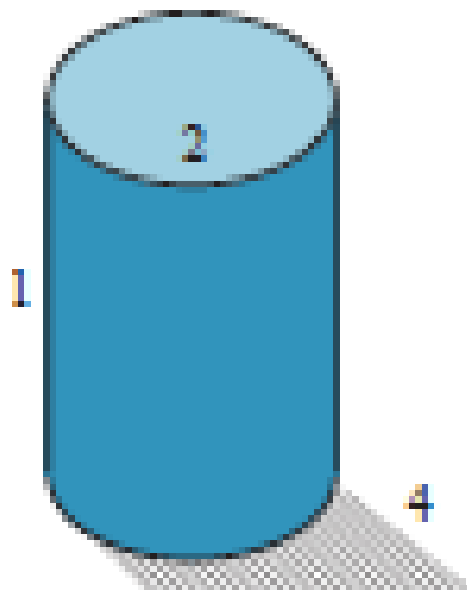


image originale



extraction des contours

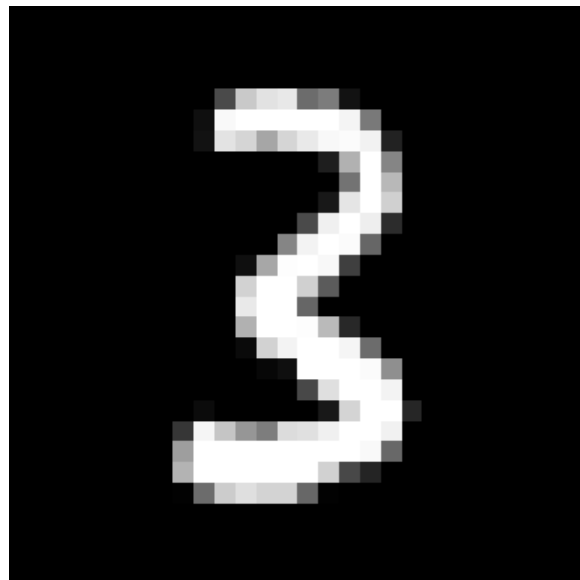
Types de contours d'images



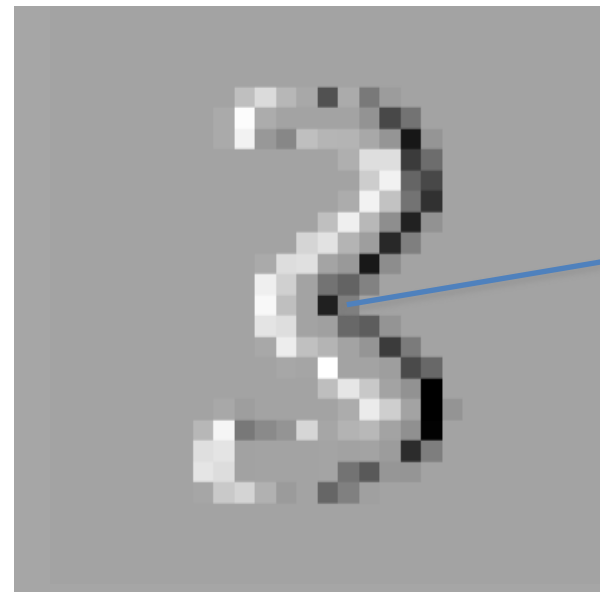
- 1- changement de profondeur
- 2- changement d'orientation de surface
- 3- changement de couleur (réflexion)
- 4- changement d'illumination

Gradient d'image

- Pour détecter si un pixel est sur la frontière d'un contour, on peut regarder la valeur relative des pixels autour de ce pixel
- Exemple: variation **horizontale** $H[i,j] = X[i,j+1] - X[i,j]$



X

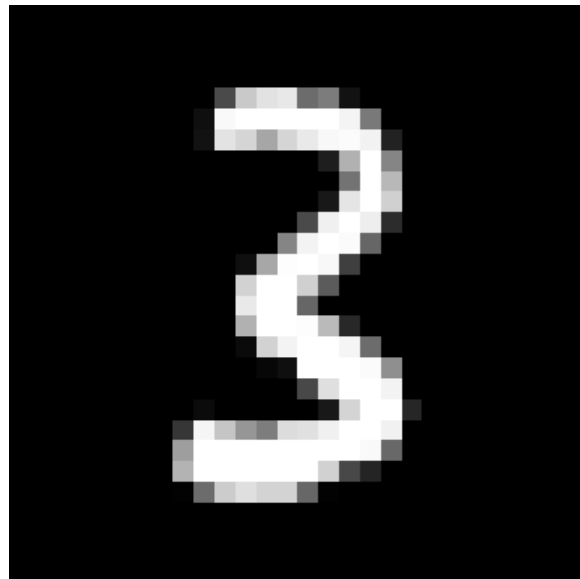


H

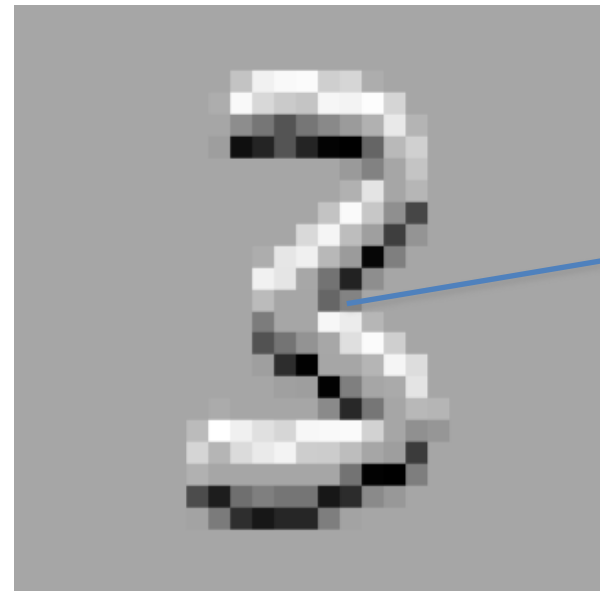
$$H[14,14] = X[14,15] - X[14,14]$$

Gradient d'image

- Pour détecter si un pixel est sur la frontière d'un contour, on peut regarder la valeur relative des pixels autour de ce pixel
- Exemple: variation **verticale** $V[i,j] = X[i+1,j] - X[i,j]$



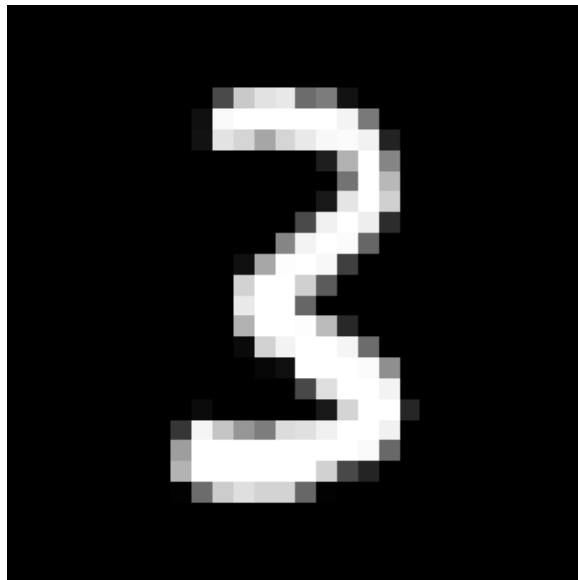
X



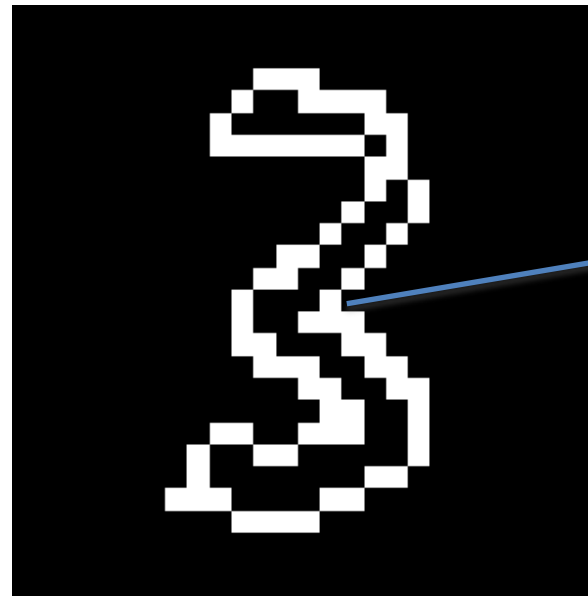
V

Déetecter un contours à partir des gradients d'image

- Un pixel ferait partie d'un contour si la somme des variations (positive ou négative) horizontale et verticale est élevée
$$E[i,j] = \sqrt{V[i,j]^2 + H[i,j]^2}$$
- On applique un seuil pour déterminer si contour ou pas



X



$E > 128$

Gradient d'image

- On peut voir le calcul des variations comme des dérivées partielles
- La « fonction » $f(a, b)$ serait la valeur de l'image à la position (a, b)

$$\frac{\partial f(a, b)}{\partial b} = \lim_{\Delta \rightarrow 0} \frac{f(a, b + \Delta) - f(a, b)}{\Delta} \approx \underbrace{x[i, j+1] - x[i, j]}_{= H[i, j]}$$

$$\Delta = 1$$

$$\frac{\partial f(a, b)}{\partial a} = \lim_{\Delta \rightarrow 0} \frac{f(a + \Delta, b) - f(a, b)}{\Delta} \approx \overbrace{x[i+1, j] - x[i, j]}^{= V[i, j]}$$

Gradient d'image

- Si $H[i,j]$ et $V[i,j]$ sont les dérivées partielles de l'image, alors

$$G[i,j,:] = [H[i,j], V[i,j]]$$

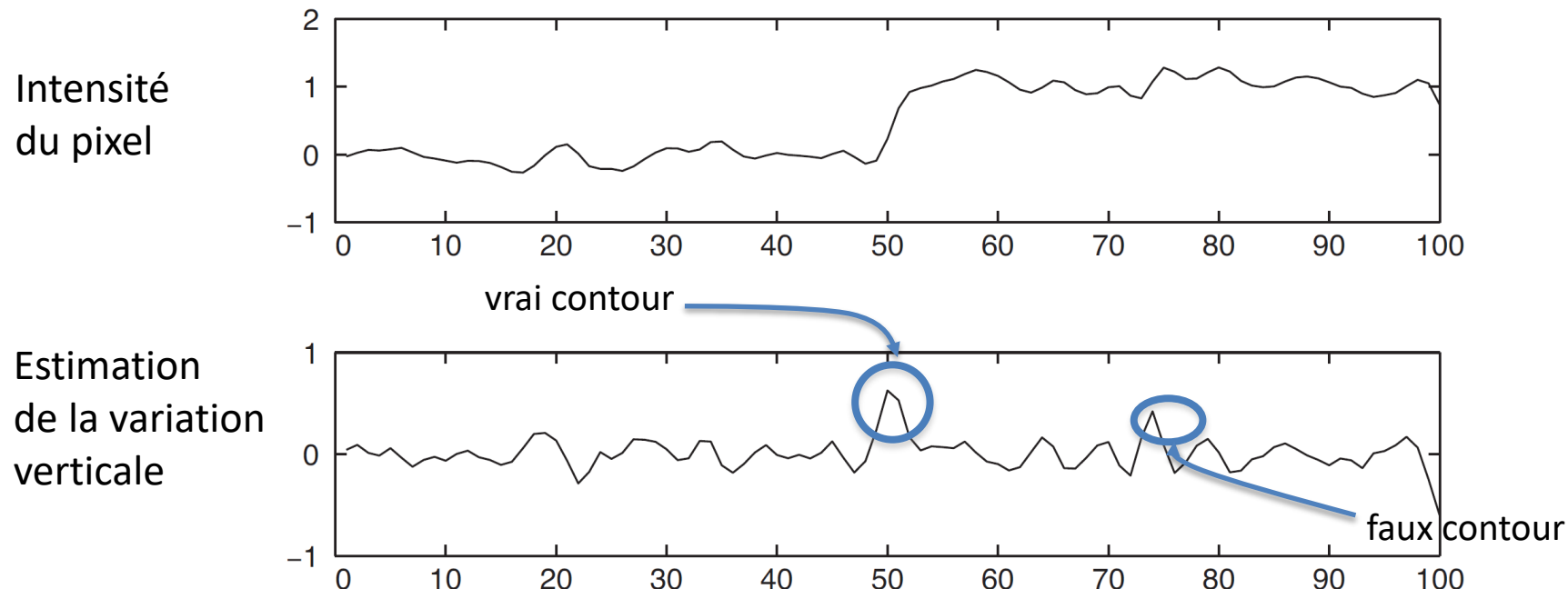
est le **gradient de l'image**, à la position (i,j)

- Pour détecter contours, l'idée serait de calculer donc la norme euclidienne de ces gradients et voir où les gradients changent significativement

$$E[i,j] = \sqrt{V[i,j]^2 + H[i,j]^2} = \underbrace{\sqrt{\sum(G[i, j, :]^2)}}_{\text{norme du vecteur } G[i,j,:]}$$

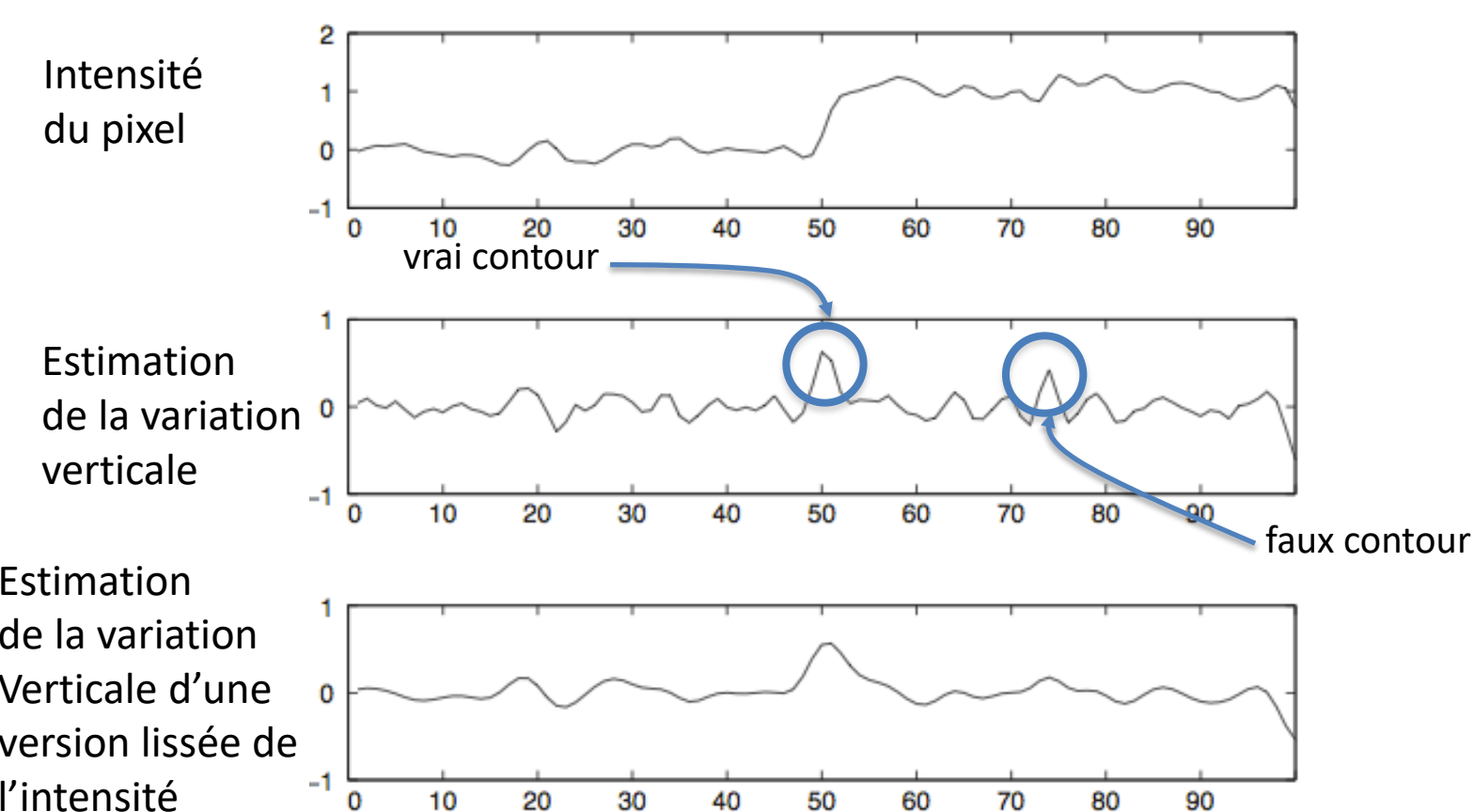
Exemple de calcul du gradient bruité

- Des vraies images sont bruitées et donc les variations des gradients vont l'être aussi



- Pour éliminer la détection de faux contours, on peut lisser l'image

Calcul gradient d'image lissé



Lissage Gaussien d'une image

- Pour éliminer la détection de ces faux contours, on lisse l'image en appliquant un filtre Gaussien à l'image.
- Soit $G_\sigma(x) = \frac{1}{\sqrt{2\pi}\sigma} e^{-x^2/2\sigma^2}$ Formule générale du filtre gaussien
- Remplacer l'intensité $X[i_0, j_0]$ du pixel (i_0, j_0) par $U(i_0, j_0)$ défini comme suit:

$C(i_0, j_0)$ = somme, sur tous les (i, j) , de $X[i, j]G_\sigma(d)$,
 d étant la distance de (i_0, j_0) à (i, j)
 σ est un hyper-paramètre

$$C(i_0, j_0) = \sum_i \sum_j X[i, j]G_\sigma(d)$$

Lissage Gaussien d'une image

0	0	255	0	0
0	0	255	0	0
0	0	255	0	0
0	255	0	0	0
255	0	0	0	0

X

U(0,0)	U(0,1)	U(0,2)	U(0,3)	U(0,4)
U(1,0)	U(1,1)	U(1,2)	U(1,3)	U(1,4)
U(2,0)	U(2,1)	U(2,2)	U(2,3)	U(2,4)
U(3,0)	U(3,1)	U(3,2)	U(3,3)	U(3,4)
U(4,0)	U(4,1)	U(4,2)	U(4,3)	U(4,4)

U

$$U(i_0, j_0) = \sum_i \sum_j X[i,j] G_\sigma(d),$$

d étant la distance de (i_0, j_0) à (i, j) .

$$G_\sigma(x) = \frac{1}{\sqrt{2\pi}\sigma} e^{-x^2/2\sigma^2}$$

Lissage Gaussien d'une image

$$U(i_0, j_0) = \sum_i \sum_j X[i, j] G_\sigma(d),$$

d étant la distance de (i_0, j_0) à (i, j) .

$$G_\sigma(x) = \frac{1}{\sqrt{2\pi}\sigma} e^{-x^2/2\sigma^2}$$

- On dit que U est la **convolution** de G_σ et X
- De façon générale u est la **convolution** de deux fonctions f et g ($u = f \star g$), si

$$C(x, y) = \sum_{u=-\infty}^{+\infty} \sum_{v=-\infty}^{+\infty} f(u, v) g(x - u, y - v)$$

- Vu que l'influence d'une gaussienne s'atténue rapidement avec la distance, en général on remplace $+\infty$ par $\pm 3\sigma$

Lissage Gaussien d'une image

0	0	255	0	0
0	0	255	0	0
0	0	255	0	0
0	255	0	0	0
255	0	0	0	0

X

U(0,0)	U(0,1)	U(0,2)	U(0,3)	U(0,4)
U(1,0)	U(1,1)	U(1,2)	U(1,3)	U(1,4)
U(2,0)	U(2,1)	U(2,2)	U(2,3)	U(2,4)
U(3,0)	U(3,1)	U(3,2)	U(3,3)	U(3,4)
U(4,0)	U(4,1)	U(2,2)	U(4,3)	U(4,4)

C

$$C(i_0, j_0) = \sum_i \sum_j X[i,j] G_\sigma(d),$$

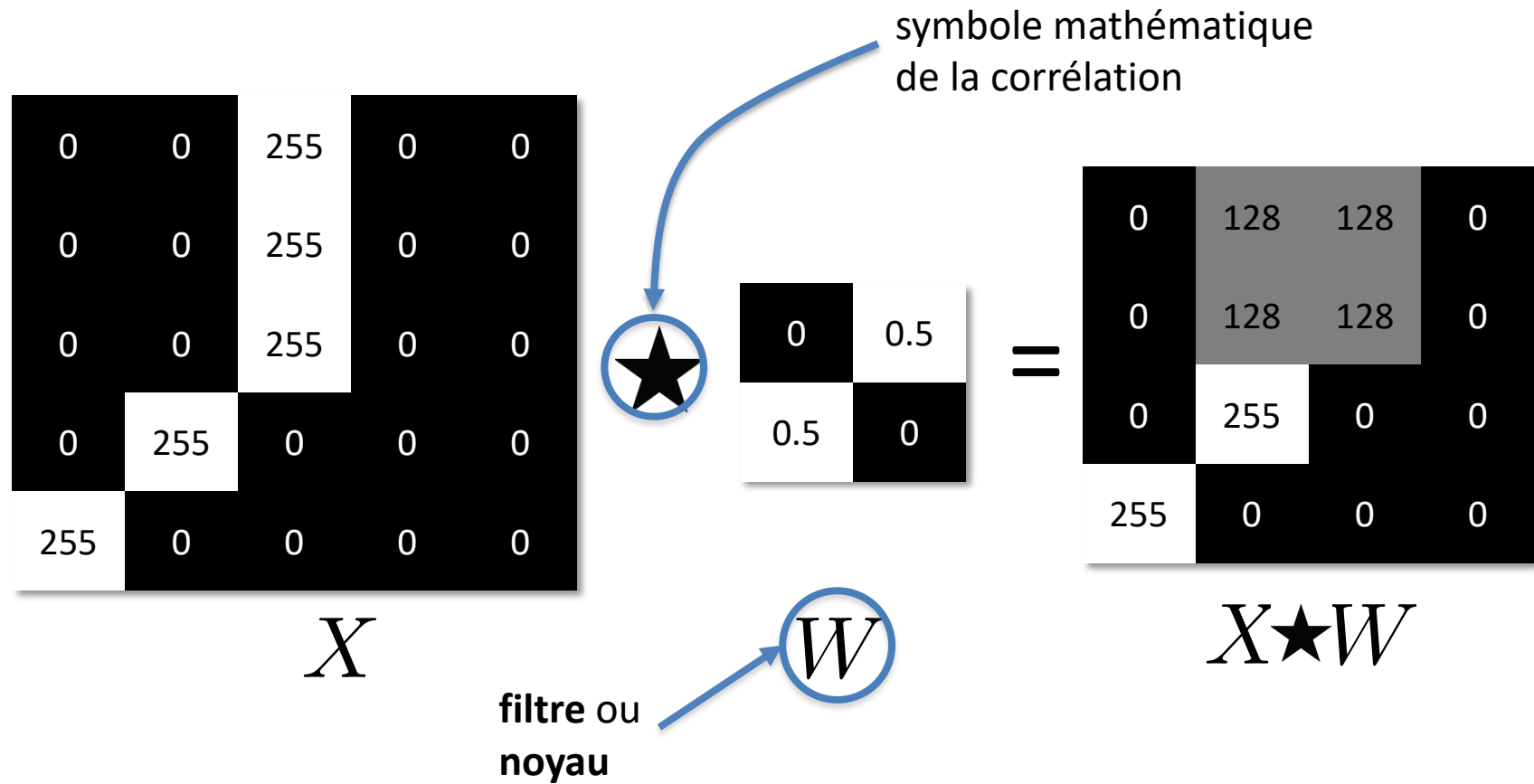
On somme seulement sur (i,j)
dans un voisinage inférieur à 3σ

d étant la distance de (i_0, j_0) à (i, j) .

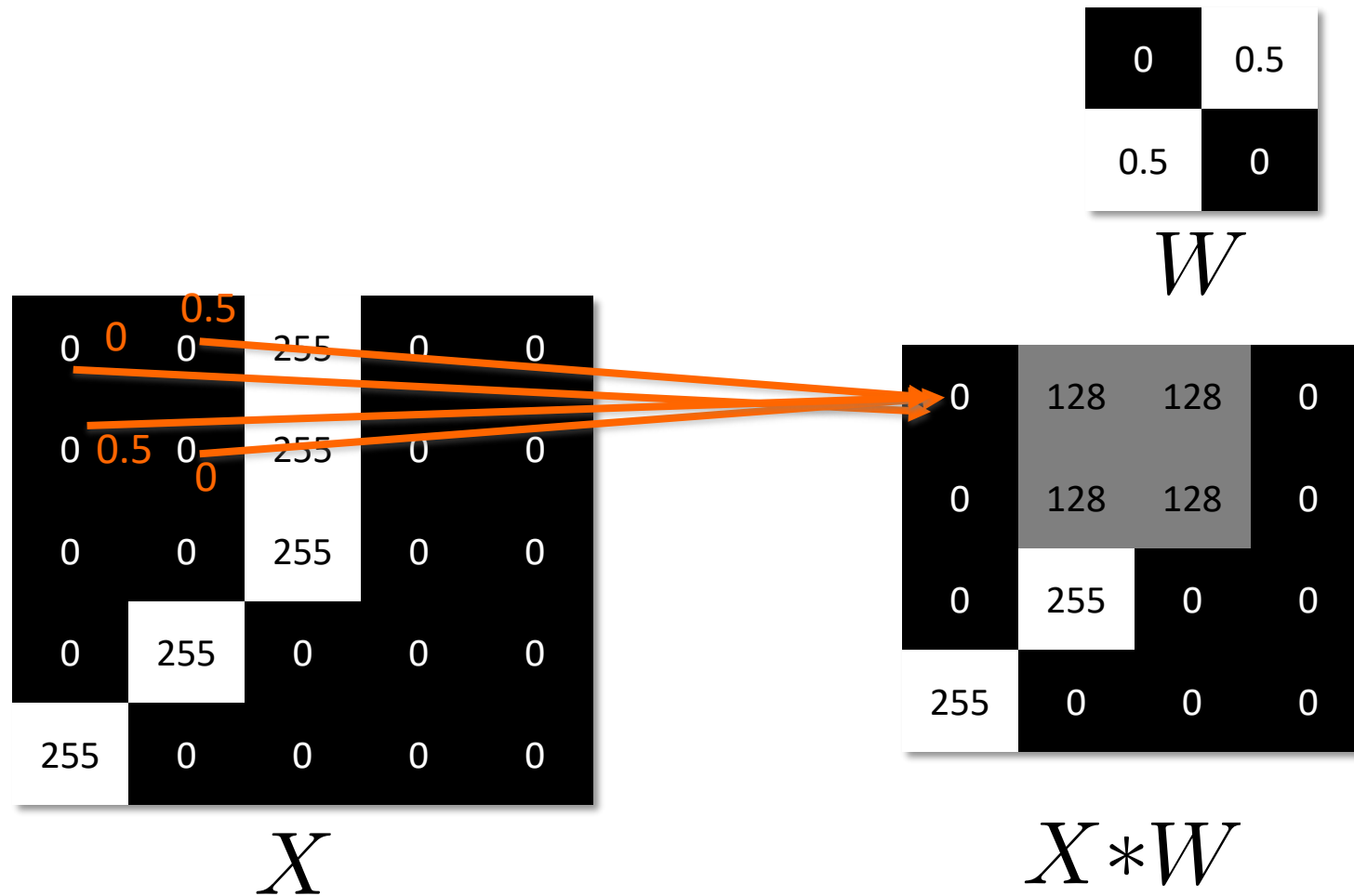
$$G_\sigma(x) = \frac{1}{\sqrt{2\pi}\sigma} e^{-x^2/2\sigma^2}$$

Corrélation 2D

Appliquer un filtre gaussien dans un voisinage limité peut être vu comme l'application d'une **corrélation 2D**



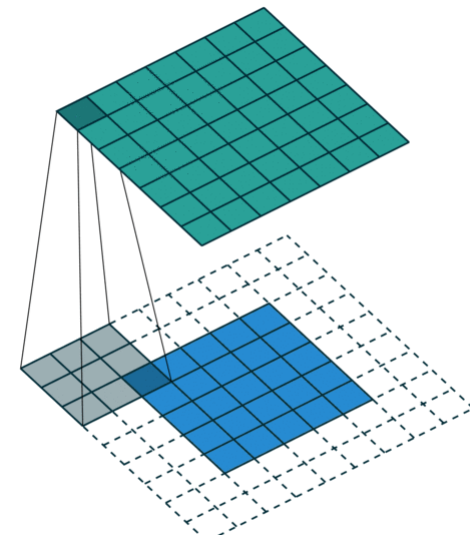
Correlation 2D



Corrélation 2D

- Le calcul des tableaux H et V peut être vu comme l'application d'une **corrélation 2D**
- On calcule le résultat C d'une convolution d'un **filtre** ou **noyau** W de taille h par w sur une image X comme suit

```
def correlation (X,W):  
    h,w = W.shape  
    C = zeros((X.shape[0]-h+1,X.shape[1]-w+1))  
    for i in range(X.shape[0]-h+1):  
        for j in range(X.shape[1]-w+1):  
            C[i,j] = sum(X[i:i+h,j:j+w] * W)  
    return C
```



<https://towardsdatascience.com/convolution-vs-correlation-af868b6b4fb5>

Corrélation 2D

- Calculer H est l'équivalent de faire une corrélation avec le filtre $W = \text{array}([[-1,1]])$

0	0	255	0	0
0	0	255	0	0
0	0	255	0	0
0	255	0	0	0
255	0	0	0	0

X



$$\begin{matrix} -1 & 1 \end{matrix}$$

0	255	-255	0
0	255	-255	0
0	255	-255	0
255	-255	0	0
-255	0	0	0

W

$X \star W$

Corrélation 2D

- Calculer V est l'équivalent de faire une corrélation avec le filtre
 $W = \text{array}([[-1],[1]])$

The diagram illustrates the 2D correlation process between an input image X and a filter W . The result is labeled $X \star W$.

Input Image X :

0	0	255	0	0
0	0	255	0	0
0	0	255	0	0
0	255	0	0	0
255	0	0	0	0

Filter W :

-1
1

Result $X \star W$:

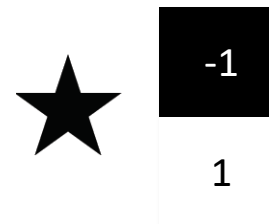
0	0	0	0	0
0	0	0	0	0
0	255	-255	0	0
255	-255	0	0	0

Corrélation 2D

Afin d'appliquer le filtre à toutes les positions dans l'image, on ajoute parfois les zéros nécessaires autour de l'image (*zero padding*)

0	0	0	0	0
0	0	255	0	0
0	0	255	0	0
0	0	255	0	0
0	255	0	0	0
255	0	0	0	0
0	0	0	0	0

X



=

0	0	255	0	0
0	0	0	0	0
0	0	0	0	0
0	255	-255	0	0
255	-255	0	0	0
-255				

W

$X \star W$

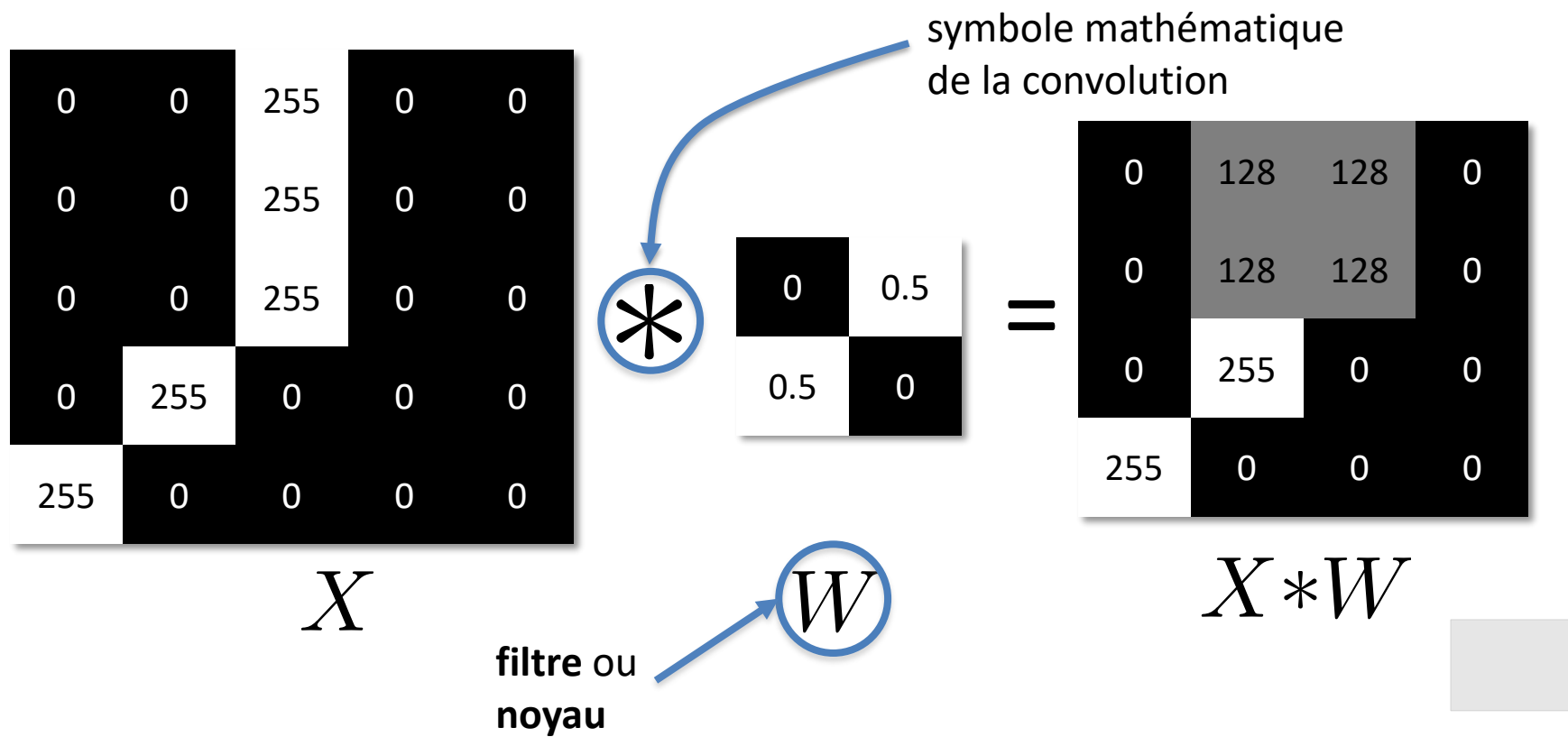
Corrélation 2D sur un signal unitaire

		Padded f						
↖	Origin f	0	0	0	0	0	0	0
0	0	0	0	0	0	0	0	0
0	0	0	0	0	0	0	0	0
0	0	1	0	0	1	2	3	0
0	0	0	0	0	4	5	6	0
0	0	0	0	0	7	8	9	0
(a)		(b)						
↖ Initial position for w		Correlation result				Full correlation result		
1	2	3	0	0	0	0	0	0
4	5	6	0	0	0	0	0	0
7	8	9	0	0	0	0	9	8
0	0	0	1	0	0	0	6	5
0	0	0	0	0	0	0	3	2
0	0	0	0	0	0	0	0	1
0	0	0	0	0	0	0	0	0
(c)		(d)				(e)		

<https://towardsdatascience.com/convolution-vs-correlation-af868b6b4fb5>

Convolution 2D

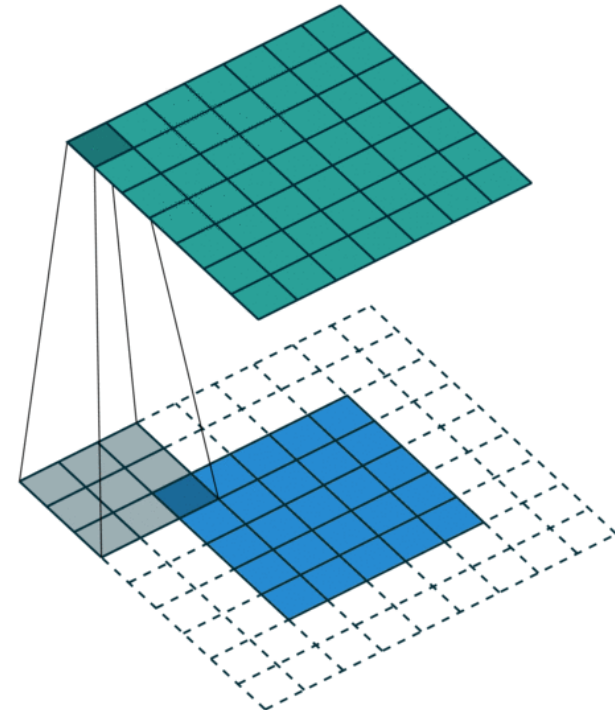
- La convolution 2D revient à une corrélation qu'on appliquerait en prenant comme point de référence des indexées du filtre la dernière rangée et la dernière colonne



Convolution 2D

- La **convolution 2D** est une opération liée à la corrélation 2D, au cœur des architectures de réseaux de neurones pour la vision entre autres.
- Équivalent à faire une corrélation après avoir inversé l'ordre des rangées et des colonnes.

```
def convolution (X,W):  
    return correlation(X,W::-1, ::-1)
```



<https://towardsdatascience.com/convolution-vs-correlation-af868b6b4fb5>

- Le résultat est parfois le même
 - ◆ Par exemple si le filtre est symétrique horizontalement et verticalement

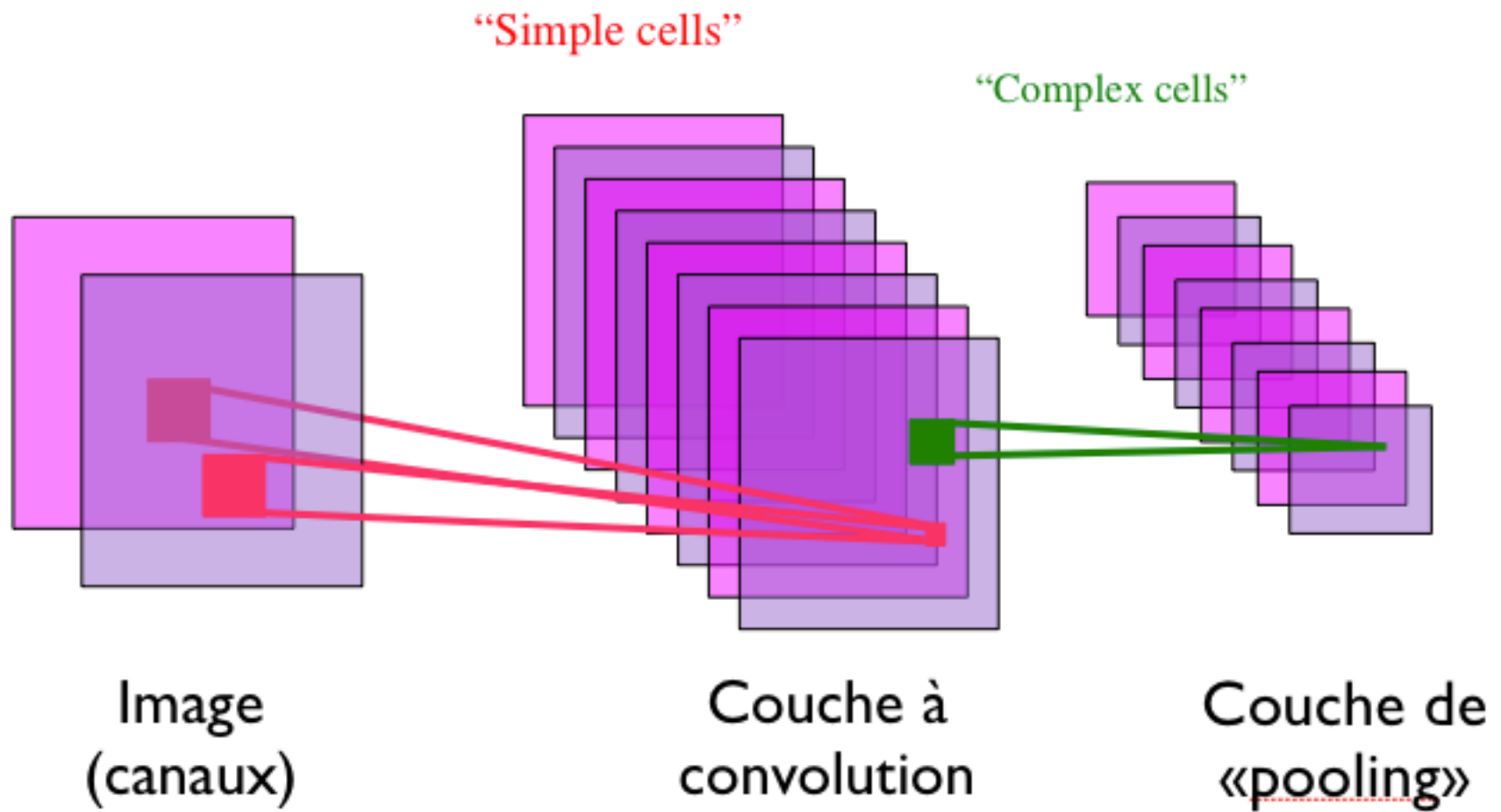
Si on va plus loin...

- L'estimation des gradients tel que présentée ($x[i,j+1] - x[i,j]$) peut être améliorée
 - ◆ voir les filtres de Sobel (*Sobel operator*)
http://en.wikipedia.org/wiki/Sobel_operator
- La détection des contours à l'aide d'un simple seuil peut être améliorée
 - ◆ voir le filtre de Canny (*Canny edge detector*)
http://en.wikipedia.org/wiki/Canny_edge_detector
- On peut extraire à partir des contours l'information sur la présence de lignes droites ou de cercles (ex.: un robot qui veut détecter les limites d'une pièce)
 - ◆ http://en.wikipedia.org/wiki/Hough_transform

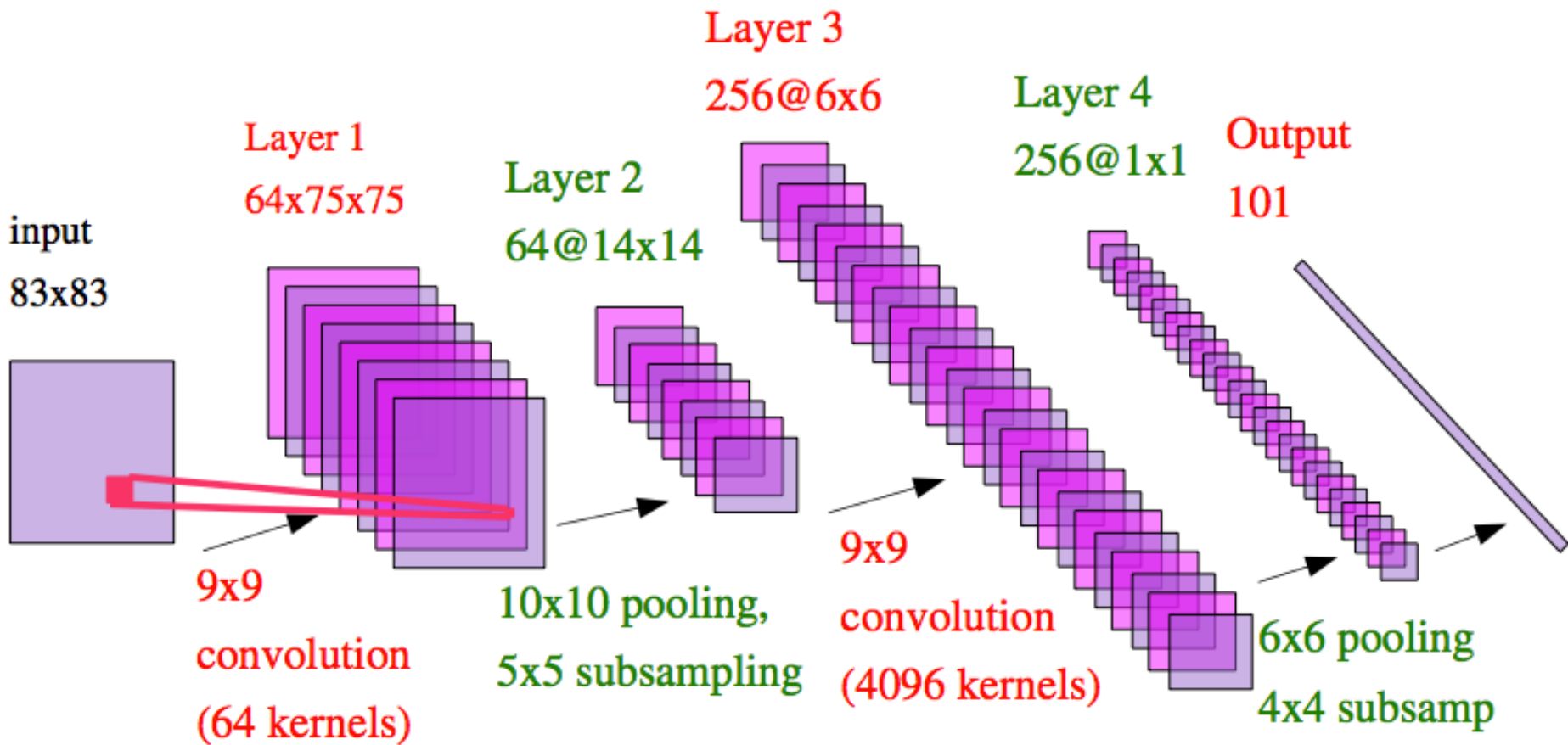
Réseau de neurones à convolution

- Un **réseau de neurones à convolution** est un cas spécial de réseau de neurones
 - ◆ Neocognition (Fukushima, 1980)
 - ◆ LeNet (LeCun, 1989)
- Comme un réseau de neurones standard, on l'entraîne par descente de gradient stochastique à l'aide de la rétropropagation des gradients
- Spécificité: ils implémentent **3 idées**:
 - ◆ connectivité parcimonieuse («sparse»)
 - ◆ connectivité locale
 - ◆ partage de paramètres

Réseau de neurones à convolution: structure des couches cachées



Réseau de neurones à convolution: réseau complet



Histoire du CNN

- **1959 & 1962:** [David Hubel & Torsten Wiesel](#) : Fonctionnement de la vision chez les animaux https://www.youtube.com/watch?v=y_I4kQ5wjiw
- **1980s :** Kunihiro Fukushima – Architecture Neocognitron inspirée des travaux de Hubel et Wiesel
 - ◆ [Neocognitron: A Self-organizing Neural Network Model for a Mechanism of Pattern Recognition Unaffected by Shift in Position”](#)
- **1990s :** LeCun – CNN, inspiré par les travaux de Fukushima
 - ◆ [Gradient-Based Learning Applied to Document recognition](#)
- **2012 :** Hinton et al. – AlexNet performe mieux sur ImageNet que les approches traditionnelles
 - ◆ [ImageNet Classification with Deep Convolutional Neural Networks](#)